

京都大学衛生工学教室 高木興一(正)、藤木 修(学)、山本剛夫(正)

1. はしがき 道路交通騒音の予測評価のために、車頭間隔が指数分布する、いわゆる指数分布モデルの解析が従来より進められている。ここでは、一車線等パワーの場合、及び各音源の音響パワー・レベルが正規分布する場合について、指数分布モデルの L_α を与える式を導出し、この式が、シミュレーションの結果とも良く一致することを確認したので、その結果を報告する。^{註)}

2. 理論的考察 無限に長い一車線上を、平均の車頭間隔が S (m)の指數分布をするような状態で、音響パワーの等しい車が走行しており、車線から d (m)離れた位置に観測点を置く。音圧レベル、及び $PWL = 0$ (dB)のときの音の強さに関する確率変数を I 、 I とすると、

$$L = PWL + 10 \log_{10} I \quad \dots \dots (1)$$

$$I \triangleq \sum_{z=-\infty}^{\infty} \frac{1}{4\pi} \frac{1}{d^2 + z^2} \quad \dots \dots (2)$$

となる。エネルギー平均レベル、 I の平均 \bar{I} 、分散 σ^2 は、それぞれ次式で示される。¹⁾

$$L_{eq} = 10 \log_{10} \bar{I} \quad \dots \dots (3)$$

$$\bar{I} = \frac{1}{4ds} \quad \dots \dots (4) \quad G_I^2 = \frac{1}{32\pi d^3 S} \quad \dots \dots (5)$$

$d=0$ のときの、 I の確率密度関数(pdf) $P_{d=0}(I)$ は

$$P_{d=0}(I) = \frac{1}{2\sqrt{\pi} S} I^{-\frac{3}{2}} e^{-\frac{1}{4S^2} \frac{1}{I}} \quad \dots \dots (6)$$

である。今、指数分布モデルを、Fig. 1に示すように、車線上に1個の点音源のみが存在するようなモデルで近似し、P点における I 、及び X のpdf、 $f(x)$ が次式のように示されるものとする。

$$I \triangleq \frac{1}{4\pi} \frac{A}{d^2 + x^2} \quad \dots \dots (7) \quad f(x) = \frac{2B}{S} e^{-\frac{\pi B^2 x^2}{S^2}} \quad \dots \dots (8)$$

A、Bは定数であるが、 $d=0$ のとき、いずれも1となり、かつ音の強さの平均、分散がそれぞれ(4)、(5)式と一致することを示す。次の(9)、(10)式の関係から、以下のように定める。

$$\int_0^\infty \frac{A}{4\pi} \frac{1}{d^2 + x^2} f(x) dx = \frac{AB}{4ds} \frac{2}{\sqrt{\pi}} e^{\frac{\pi B^2 d^2}{S^2}} \operatorname{Erfc} \left(\frac{\sqrt{\pi} Bd}{S} \right) = \frac{AB}{4ds} \Gamma \left(\frac{1}{2} \right) \left(\frac{\pi B^2 d^2}{S^2} \right)^{-\frac{1}{2}} e^{\frac{1}{2} \frac{\pi B^2 d^2}{S^2}} W_{\frac{1}{2}, -\frac{1}{4}} \left(\frac{\pi B^2 d^2}{S^2} \right) = \frac{1}{4ds} \quad \dots \dots (9)$$

$$\int_0^\infty \left(\frac{A}{4\pi} \frac{1}{d^2 + x^2} \right)^2 f(x) dx = \left(\frac{A}{4\pi} \right)^2 B \frac{1}{S^2} \Gamma \left(\frac{1}{2} \right) \left(\frac{\pi B^2 d^2}{S^2} \right)^{-\frac{1}{2}} W_{\frac{3}{4}, -\frac{3}{4}} \left(\frac{\pi B^2 d^2}{S^2} \right) = \left(\frac{1}{4ds} \right)^2 + \frac{1}{32\pi d^3 S} \quad \dots \dots (10)$$

ここに、 $W_{k,\mu}(z)$ はWhittakerの関数²⁾である。(9)、(10)式からAを消去し、 $W_{k,\mu}(z)$ の漸近展開($n=2$ まで)を用いて、 $d/S \rightarrow \infty$ におけるBの漸近解を求めると(11)式のようになる。しかし、 $d=0$ においてB=1^{註)}。 L_α 、 L_{eq} といった表示は、A特性によるウェイトを付けた音圧レベルや、エネルギー平均レベルに対して通常用いられるが、本考察では、そのように限定する必要はないので、音圧レベル、エネルギー平均レベルといった量を表す場合にも用いる。 PWL や音の強さ I についても同様である。

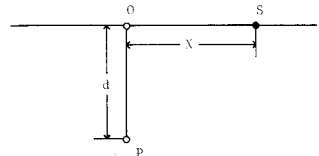
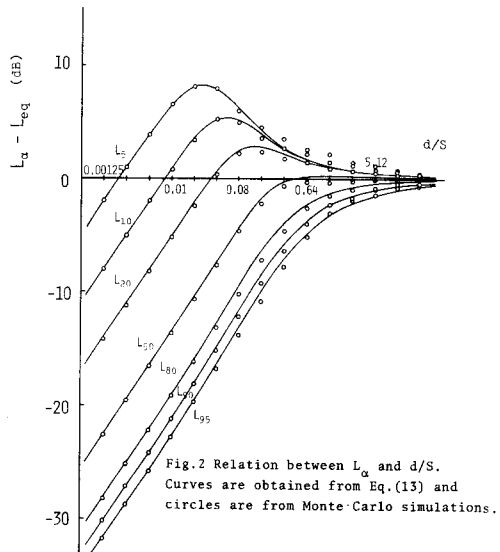


Fig.1 One Point Source Model

Fig. 2 Relation between L_α and d/S . Curves are obtained from Eq.(13) and circles are from Monte-Carlo simulations.

という要請があるから、結局Bとして(12)式を採用した。

$$B \sim \frac{1}{\pi^{\frac{1}{4}}} \left(\frac{S}{d}\right)^{\frac{3}{4}} \quad (11) \quad B = 1 - e^{-\frac{1}{\pi^{\frac{1}{4}}} \left(\frac{S}{d}\right)^{\frac{3}{4}}} \quad (12)$$

Aの値は、(9)式から定まる。 L_α の値は、Fig.1において、 $P(X \leq x) = 0.0\alpha$ となるようなxの値を(8)式から求めると、以下のように定めることができる。

$$L_\alpha = PWL + 10 \log_{10} \left[\frac{1}{4\pi} \frac{\sqrt{S}}{2B} e^{-\frac{TBd^2}{S^2}} \frac{1}{\text{Erfc}(\sqrt{\frac{TBd}{S}})} \cdot \frac{1}{d^2 + (\frac{S}{2\pi B})^2 C_\alpha^2} \right] \quad (13)$$

ただし、Bは(12)式により定まり、 C_α は

$$\int_0^\infty \frac{1}{\sqrt{2\pi}} e^{-\frac{t^2}{2}} dt = \frac{0.0\alpha}{Z} \quad (14)$$

から定まる定数で、任意の α について求めることができる。Tab.1にその幾つかの値を示した。

Table 1. The values of C_α

α	C_α	α	C_α
5	0.06271	50	0.67449
10	0.12566	90	1.64485
20	0.25335	95	1.95996

このような近似モデルから導かれる L_α の近似値は、以上の議論からも明らかのように、 $d=0$ 、 $d \rightarrow \infty$ において厳密な値と一致する。また、同様な近似方法によって、一車線上に配置されている各点音源のパワー-レベルが正規分布、 $N(PWL, \sigma^2)$ する場合の L_α の近似値を得ることもできる。この場合には、Bは等パワー-指數分布モデルと同様(12)式から計算し、(13)式中のS、dについては、それぞれ

$$S_0 = S e^{-\frac{\sigma^2}{8} \left(\frac{\ln 10}{10}\right)^2} \quad (15)$$

$$d_0 = d e^{-\frac{30}{8} \left(\frac{\ln 10}{10}\right)^2} \quad (16)$$

のように定義される S_0 、 d_0 で置き換えるといい。また $PWL = PWL$ である。

3. 結果の比較 Fig.2は、等パワー-指數分布モデルの $L_\alpha - L_{50}$ と d/S の関係を、Fig.3は L_{50} の距離dによる減衰を、Fig.4は、音源のパワー-レベルが、 $N(0, 5^2)$ なる分布を持つ場合の L_{50} の距離dによる減衰を示しており、いずれも、(13)式から計算される近似解とシミュレーションの結果を比較対比したものである。両者の相違は、最大でも、ほぼ1.5dB以下であることがわかる。

文献

1) K. Takagi et al.: J. Sound and Vib.. 36, 1974

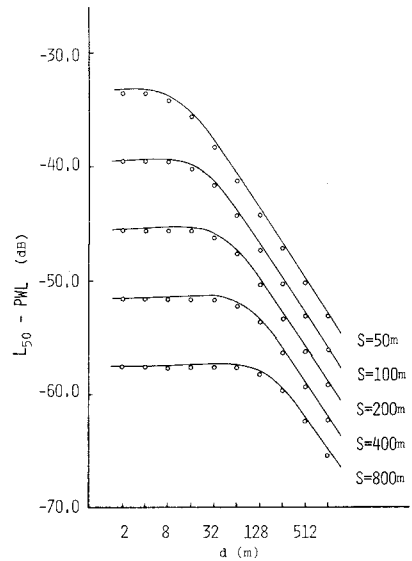


Fig.3 Relation between L_{50} and the distance from road in a single line flow of vehicles with same acoustic power. ($PWL=0$ dB) Curves are from Eq.(13) and circles are from Monte Carlo simulations.

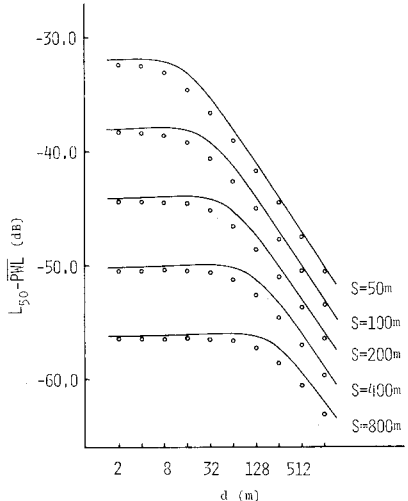


Fig.4 Relation between L_{50} and the distance from road in a single line flow of vehicles, where the distribution of the acoustic power level is $N(0, 25)$. Curves are from Eq.(13) and circles are from Monte Carlo simulations.